

I-5 指え縄を有する塔状構造物の振動に関する基礎的研究

愛媛大学工学部土木工学科 正員 見次繁光
中央復建コンサルタンツ KK 正員 口萩森重吉

1. まえがき

指え縄(Guy Cable)を有する塔状構造物(Guyed Tower)の動的特性に関する研究は、これまで主に風荷重についてなされてきた。しかし、現地のような世界有数の地震国においては、その地震荷重に対する耐震性も欠くべからざる要素となつてゐる。

本研究は、指え縄を有する塔状構造物を物理的に解析する際、非線形復元力特性を示す Guy Cable 及び Guyed Tower の地盤振動に対する挙動を最も基本的な模型を用いて実験的に調べ、その結果を理論計算によつて求めた値と比較検討したものである。

2. Guy Cable の振動特性

図-1 のようにある角度をもつて張られたワイヤロープの中央質点が、両端の支点の水平振動に伴つてローリーの軸方向及び軸直角方向に振動する。ローリーの軸方向の振動は複数の固有振動数及び減衰係数を k_x, c_x とし、軸直角方向に固有振動数を k_y, c_y と表わすならば、図-1 のよろるローリーは図-2 のよろるバネ-質量系

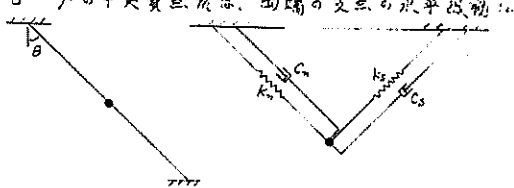


図-1

図-2

におき換えることができる。これら諸係数のうち、軸方向のバネ抵抗係数 k_x はその和方に反比例(ただし理屈的にはやくしく求めることができるとか、たゞはどの力よりアリの關係が地圖上では少々大きめで、試験もくり返しデモーションの近似式との比較も行なつた。また減衰係数 c_x についてはそれを自由減衰振動を記録し、その減衰波形から実験的にその値を定めた。図-3 及び図-4 に示してグラフはこれらの実験結果の一例である。図-3 は、初張力をパラメーターとした時のワイヤロープの軸直角方向のバネ抵抗力(単位タップ当たり)とローリーの細長比との關係を表わし、図-4 は種々の異なる種々のローリーについて調べたワイヤロープの軸直角方向の減衰係数とローリー初張力との關係を表わしてある。

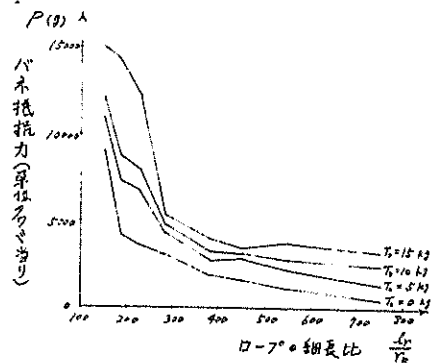


図-3

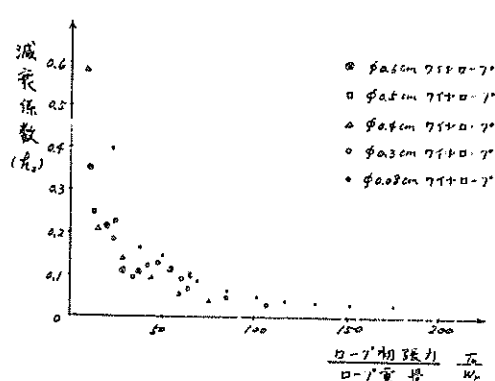


図-4

3. Guyed Tower のモデル化と応答計算

Guyed Tower の振動モデル

を作成するに当って、Tower 及び Guy Cable そして地震加速度の方向が全て同一平面内に含まれるものと仮定すれば、その振動モデルは一般に Tower 及び

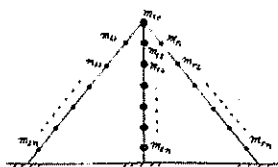


図-5

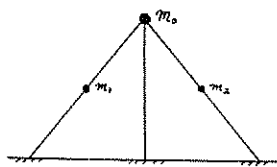


図-6

Guy Cable が 8 本それなり 1 個、9 個の集中質量を有する多質点系モデルとして図-5 の様に表わされる。しかしながら、このようないくつかのモデルに対する各応答値の測定は極めて困難となるべからず、今回の実験では未だ Guyed Tower の最も單純な振動モデルとして塔頂に質量を有する Tower がそれより中央に質点を有する 2 本の対称な斜張網によって支持された在図-6 のような振動模型を使用した。すると、荷重はタワー上端あるいはローラー中央に集中するものとし、また塔頂の質量則は水平方向のみ、ローラー中央の質点則、 m_2 は半角やホローローラーの軸方向と軸に直角な方向（左辺、タワー及びローラーの軸を含む平面内に限るものとする）に振動することを考えることができる。3 質点系（自由度 = 5）の振動問題として取り扱うこととする。そして、この場合の振動モードはオーモード（対称または逆対称）だけである。

この振動モデルに付して Lagrange の方程式を適用し、塔頂及ホローローラー中央の三個の質点に関する運動的平衡方程式を求めるに次のようになる。

$$\begin{aligned} \ddot{U}_{12n}^{(1)} &= -m_1 \frac{\partial U_{12n}}{\partial x} - k_{12} (U_{12n}^{(1)} - U_{12n}^{(2)}) - C_{12} \frac{U_{12n}^{(1)} - U_{12n}^{(2)}}{x_1 + x_2 + \frac{x}{2}} \\ \ddot{U}_{12n}^{(2)} &= -m_2 \frac{\partial U_{12n}}{\partial x} - k_{21} (U_{12n}^{(2)} - U_{12n}^{(1)}) - C_{21} \frac{U_{12n}^{(2)} - U_{12n}^{(1)}}{x_2 + x_3 + \frac{x}{2}} \\ \ddot{U}_{12n}^{(3)} &= -m_3 \frac{\partial U_{12n}}{\partial x} - k_{32} (U_{12n}^{(3)} - U_{12n}^{(2)}) - k_{13} (U_{12n}^{(3)} - U_{12n}^{(1)}) - k_{23} \sin \theta (U_{12n}^{(3)} - U_{12n}^{(2)}) - k_{31} \sin \theta (U_{12n}^{(3)} - U_{12n}^{(1)}) - C_{32} \frac{U_{12n}^{(3)} - U_{12n}^{(2)}}{x_3 + x_1 + \frac{x}{2}} \\ \ddot{U}_{12n}^{(4)} &= -m_2 \frac{\partial U_{12n}}{\partial x} - k_{21} (U_{12n}^{(4)} - U_{12n}^{(3)}) - k_{23} (U_{12n}^{(4)} - U_{12n}^{(2)}) - C_{21} \frac{U_{12n}^{(4)} - U_{12n}^{(3)}}{x_2 + x_3 + \frac{x}{2}} \\ \ddot{U}_{12n}^{(5)} &= -m_3 \frac{\partial U_{12n}}{\partial x} - k_{32} (U_{12n}^{(5)} - U_{12n}^{(4)}) - C_{32} \frac{U_{12n}^{(5)} - U_{12n}^{(4)}}{x_3 + x_2 + \frac{x}{2}} \end{aligned}$$

これらの式が求まれば、各質点の変位、加速度などの各応答値は数値解析法を用いることによって比較的容易に計算できる。その演算プログラムのフローチャートは図-7 に示しておいた。なお、実際の計算は慶應大学工学部の電子計算機（Hibac 103）によって行われた。

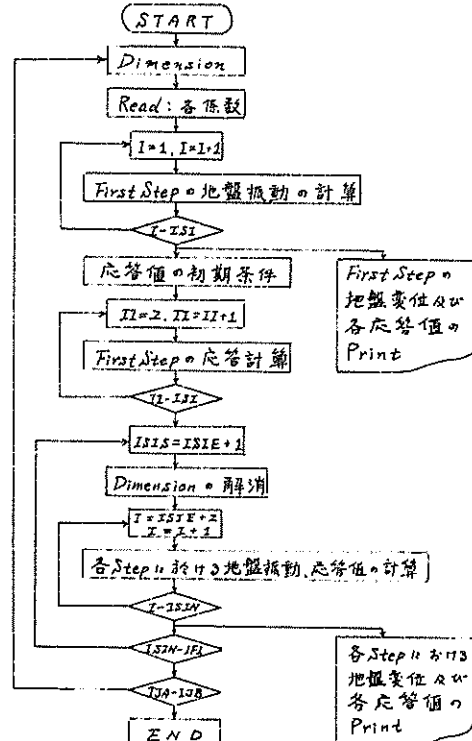


図-7

4. Guyed Tower の振動模型実験

(1) 実験装置

図-8に示すような実験装置を用いて Guyed Tower の振動模型実験を行なった。振動台の変位およびタワー上端及びロー-ア中央での質点変位は基動トランスを用いて変位測定器によつた。またロー-ア張力は図-9に示したような鋼板にひずみゲージを張り合わせて作成した張力計を用いて測定した。

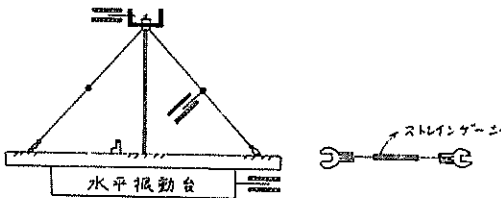


図-8

図-9

計を用いて動的ひずみ測定器によつて測定し、それを孔電極オシログラフ記録した。さらに振動台には加速度変換器を取り付け、その加速度も測定した。なお、Towerとして種々の異なる5種類の鋼棒を、Guy Cableにはそれを用いた3種類のロー-ア拉丸角 ($\theta_1 = 47.5^\circ$, $\theta_2 = 40.0^\circ$, $\theta_3 = 31.0^\circ$) 及びロー-ア初張力 ($T_0 = 0.9$, $T_0 = 500$, $T_0 = 1000$ g) をパラメーターとして使用した。

今回の実験は、上記の装置を用い各パラメータをつづり、振動台の振動数を $150 \sim 800 \text{ Hz}$ まで 50 Hz 每に 10 段階に変化させながら各部の応答値を測定記録した。

(2) 実験結果

Guyed Tower の振動模型実験結果から、図-10の拉丸角及び初張力の各々の場合に対する各応答スペクトル図を描き、それらを整理するに右図のようなグラフを求めることができる。ここで、図-10はロー-ア拉丸角 (θ) とタワー上端及びロー-ア中央の変位との関係を表わし、また図-11はロー-ア初張力 (T_0) とタ

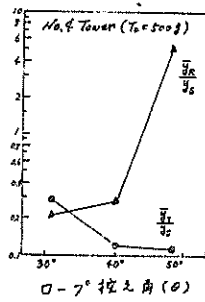


図-10

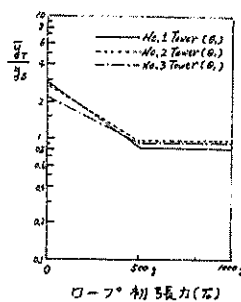


図-11

ワー上端の変位との関係を表わしたグラフの一例である。また、Guyed Tower のタワー上端の振動及びロー-ア中央点の振動につづり、実験結果と数値計算結果とを比較したいくつかの例を表-1および表-2に示してある。

表-1. タワー上端の振動

	振幅	周期
	計算値	実験値
No. 1 タワー- ($\theta_1, T_0=0$)	0.231 cm	0.239 cm
No. 2 タワー- ($\theta_1, T_0=500$)	0.232 cm	0.236 cm
No. 3 タワー- ($\theta_1, T_0=0$)	0.212 cm	0.224 cm

表-2. ロー-ア中央点の振動

	振幅	周期
	計算値	実験値
No. 1 タワー- ($\theta_1, T_0=0$)	0.58 cm	0.60 cm
No. 2 タワー- ($\theta_1, T_0=0$)	0.61 cm	0.65 cm
No. 1 タワー- ($\theta_1, T_0=0$)	0.69 cm	0.67 cm
No. 2 タワー- ($\theta_1, T_0=500$)	0.85 cm	0.98 cm

図-10のグラフから、ロー-ア拉丸角を大きくすればロー-アの拉丸効果(タワー上端の変位を抑える効果)はよくななるが、拉丸綱の長さが長くなるためにロー-ア自身の振動が大きくなることがわかる。また、図-21のグラフを見ると、ロー-ア初張力を大きくすればロー-アの拉丸効果は初めのうち増強的に向上するが、初張力がある程度以上大きくなるとほとんど変化しなくなる。

次に、表-1及び表-2から次のような事がいえる。タワー上端の変位につづりは、どの振幅は必ずかのひだりがみられるか、周期につづりではほとんどどの差が見られない。また、ロー-ア中央点の変位につづりは、ロー-ア拉丸角が小さく拉丸綱の長さが短い場合あるいはロー-ア初張力の大き

い場合のようにローラー中央点での変位が小さく範囲では、計算値と実験値はよく一致する。しかし、ローラー中央点の変位が大きくなつてくと、差動トランクの働きが悪くなるので振幅、周期ともに歩みひらきが生じてくる。

6. 結び

本実験により次のような事が明らかとなった。

(1) ウイヤローラーの軸に直角な方向への抵抗力は、使用するローラーの組合せによつても左右されず、またウイヤローラーの軸に直角な方向の振動に関する減衰係数は初張力の増大に伴つて減少する。

(2) Guyed Tower の拘束角の決定には、タワー及びローラーの間の振動特性を考慮しなければならぬ。拘束角の初張力は大きくすればよしと云ふものではない。

(3) 本研究で使用した数値解析法による Guyed Tower の応答計算結果は、振動模型実験結果とほぼ一致する。

7. あとがき

ここに述べた事柄は、非常に単純化された振動模型による Guyed Tower の基礎的研究であり、今後は自由度の大きいより実際的な模型による振動実験を行なつて行かなければならぬ。そして、最終的にはランダム発振器を用いて実際の地震波を適用した振動実験もつづけたいと考えている。(数値解析法によれば、地盤振動がランダムの場合でもフロードラムの最初の入力部分を少し修正するだけで比較的容易に計算できる。) なお、現在 3 質点系(自由度 = 5)の非対称な Guyed Tower に対するフロードラム修正を終え、タワーは 5 個、質点を有する 7 質点系(自由度 = 9)の非対称な Guyed Tower に対する応答計算フロードラムの作成を行なつて、3 つある。

参考文献

- 1) 梅沢、日笠他；拘束角を有する塔状構造物の振動に関する基礎実験、第 1 回土木学会中国四国支部講演集、昭 3 年。
- 2) Timoshenko; Vibration Problem in Engineering, D. VAN NOSTRAND, 1955.
- 3) John M. Biggs; Introduction to Structural Dynamics, Mc Graw-Hill, 1964.
- 4) 白石書房；ウイヤローラー便覧、1967。
- 5) 土木学会編；土木技術者のための振動便覧、1966。